

Vorlesungszusammenfassung

# **Homologische Algebra**

gelesen von Prof. Dr. Marc Nieper-Wißkirchen

Maximilian Huber

Stefan Hackenberg

Sommersemester 2014



# Inhaltsverzeichnis

<b>1</b>	<b>Simpliziale Mengen</b>	<b>1</b>
1.1	Triangulierte Räume . . . . .	1
1.1.1	Definitionen . . . . .	1
1.1.2	Beispiele . . . . .	3
1.1.3	Proposition . . . . .	3
1.1.4	Skelett . . . . .	4
1.1.5	Triangulation des Produktes zweier Simplizes . . . . .	5
1.2	Simpliziale Mengen . . . . .	6
1.2.1	Beispiele . . . . .	7
1.2.2	Skelett und Dimension . . . . .	13
1.2.3	Abbildungen simplizialer Mengen . . . . .	13
1.2.4	Verfeinerung von Überdeckungen . . . . .	13
1.2.5	Stetige Abbildungen . . . . .	13
1.2.6	Gruppenhomomorphismen . . . . .	13
1.3	Simpliziale Topologische Räume und Eilenberg-Zilber . . . . .	13
1.3.1	Drei Beschreibungen von $\Delta_p \times \Delta_q$ . . . . .	13
1.3.2	Definition . . . . .	13
1.3.3	Definition . . . . .	13
1.3.4	Beispiel . . . . .	13
1.3.5	Definition . . . . .	13
1.3.6	Die geometrische Realisierung einer bisimplizialen Menge . . . . .	13
1.3.7	Satz von Eilenberg und Zilber . . . . .	13
1.3.8	Beweisidee . . . . .	13
1.4	Homologie und Kohomologie . . . . .	15
1.4.1	Ketten und Koketten . . . . .	15
	<b>Literatur</b>	<b>16</b>



# Kapitel 1

## Simpliziale Mengen

### 1.1 Triangulierte Räume

#### 1.1.1 Definitionen

**Definition 1.1** Ein *Triangulierter Raum* besteht aus

- Punkten,
- Kanten,
- Dreiecke,
- Tetraeder,
- ...
- $n$ -dimensionale Simplizes

und einer kombinatorischen Verklebevorschrift.

**Definition 1.2 (topologischer  $n$ -Simplex, Ecke,  $I$ -Fläche)** Der  $n$ -dimensionale topologische Simplex (oder topologischer  $n$ -Simplex) ist der topologische Raum

$$\Delta_n := \left\{ (x_0, \dots, x_n) \in \mathbb{R}^{n+1} \mid \sum_{i=0}^n x_i = 1, x_i \geq 0 \right\}.$$

Der Punkt  $e_i \in \Delta_n$  mit  $x_i = 1$  heißt die  $i$ -te Ecke von  $\Delta_n$ .

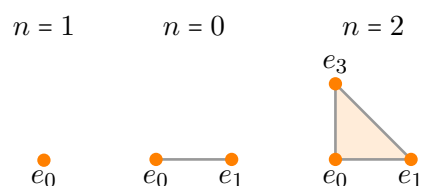
Für  $I \subseteq [n] := \{0, \dots, n\}$  ist die  $I$ -Fläche von  $\Delta_n$  durch

$$\left\{ (x_0, \dots, x_n) \in \Delta_n \mid x_i = 0 \ \forall i \notin I \right\}$$

gegeben.

**Bemerkung 1.3** Durch obige Definition einer Ecke erhält man eine Anordnung der Ecken!

**Beispiel 1.4** (Veranschaulichung verschiedener topologischer  $n$ -Simplizes)



**Bemerkung 1.5** Jedes  $I \subseteq [n]$  mit  $|I| = m + 1$  definiert genau eine streng monoton wachsende Abbildung  $f : [m] \rightarrow [n]$  mit  $\text{im } f = I$ . Diese Konstruktion ist umkehrbar.

**Definition 1.6** Die Abbildung

$$\Delta_f : \Delta_m \rightarrow \Delta_n$$

ist diejenige lineare Abbildung, welche die Ordnung der Ecken berücksichtigt und die  $I$ -Seite von  $\Delta_n$  als Bild hat, wobei  $f$  und  $I$  nach obiger Bemerkung korrespondieren.

**Beispiel 1.7** Für

$$\begin{array}{ccc} f : [1] & \rightarrow & [2] \\ 0 & \mapsto & 0 \\ 1 & \mapsto & 2 \end{array} \quad \leftrightarrow \quad I = \{0, 2\}$$

erhalten wir  $\Delta_f : \Delta_1 \rightarrow \Delta_2$ : **Bild**

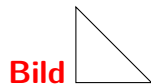
**Definition 1.8** Ein *Verklebedatum*  $X$  ist eine Folge  $X_{(0)}, X_{(1)}, \dots$  von Mengen, wobei man  $X_{(0)}$  als *Punkte*,  $X_{(1)}$  als *Kanten*,  $X_{(2)}$  als *Flächen*,  $\dots$  bezeichnet und für jede streng monotone Abbildung  $f : [m] \rightarrow [n]$  eine Abbildung

$$X(f) : X_{(n)} \rightarrow X_{(m)},$$

so dass Folgendes gilt:

- (1)  $X(\text{id}_{[n]}) = \text{id}_{X_{(n)}}$ ,
- (2)  $X(g \circ f) = X(f) \circ X(g)$ .

**Beispiel 1.9** Für  $\Delta_2$  haben wir:



$$\begin{aligned} X_{(0)} &:= \{\text{Bild}\} \\ X_{(1)} &:= \{\text{Bild}\} \\ X_{(2)} &:= \{\text{Bild}\} \end{aligned}$$

Alle weiteren  $X_{(3)} = X_{(4)} = \emptyset$  sind leer.

**Definition 1.10 (topologische Realisierung)** Die *topologische Realisierung*  $|X|$  von  $X$  ist der topologische Raum, dessen zugrunde liegende Menge durch

$$\left( \coprod_{n=0}^{\infty} (\Delta_n \times X_{(n)}) \right) / R$$

gegeben ist, wobei  $R$  die schwächste Äquivalenzrelation ist, für die

$$(s, x) R (t, y) \quad \Leftarrow \quad \begin{cases} y = X(f)(x) \text{ und} \\ s = \Delta_f(t) \text{ für ein } f : [m] \rightarrow [n]. \end{cases}$$

Für  $(s, x) R (t, y)$  schreibe auch  $(s, x) \xrightarrow{f} (t, y)$ . Die Topologie von  $|X|$  ist die feinste Topologie, so dass

$$\coprod_{n=0}^{\infty} (\Delta_n \times X_{(n)}) \xrightarrow{\tau} \left( \coprod_{n=0}^{\infty} (\Delta_n \times X_{(n)}) \right) / R = X$$

stetig ist, d.h.  $\mathcal{U} \subseteq |X|$  offen  $\Leftrightarrow \tau^{-1}(\mathcal{U})$  offen  $\Leftrightarrow \tau^{-1}(\mathcal{U})$  in allen  $\Delta_n$  offen.

**Bemerkung 1.11** Die definierende Gleichung der Relation  $R$  in Definition 1.10 definiert zwar eine reflexive und transitive Relation, jedoch keine symmetrische!

### 1.1.2 Beispiele

*Beispiel 1.12 ( $n$ -dimensionaler Simplex)*

$$\begin{aligned} X_{(i)} &= \{I \subseteq [n] \mid |I| = i + 1\} \\ &\cong \{f : [i] \rightarrow [n] \text{ streng monoton}\} \end{aligned}$$

$$X([i] \xrightarrow{f} [j]) : (g : [j] \rightarrow [n]) \longmapsto (g \circ f : [i] \rightarrow [n]).$$

Damit ist der  $n$ -dimensionale Simplex also nichts anderes, als die geometrische Realisierung von obigem Verklebedatum:  $\Delta_n \approx |X|$ .

*Beispiel 1.13 ( $n$ -dimensionale Sphäre)* Die Einheitssphäre  $S^n$  lässt sich durch  $\partial\Delta_n$  triangulieren und erhält damit als Verklebedatum:

$$X_{(i)} := \begin{cases} X_{(i)}^{\Delta_n} = \{[i] \rightarrow [n] \text{ streng monoton wachsend}\} & i < n, \\ \emptyset & i \geq n, \end{cases}$$

wobei  $X^{\Delta_n}$  das Verklebedatum des  $n$ -Simplex meint. Damit erhalten wir wiederum  $S^n \approx |X|$ .

**Definition 1.14 (Inneres, induzierte Abbildung)** Das *Innere von  $\Delta_n$*  ist

$$\begin{aligned} \mathring{\Delta}_n &:= \begin{cases} \text{top. Inneres von } \Delta_n & n \geq 1 \\ \Delta_0 & n = 0 \end{cases} \\ &= \{(x_0, \dots, x_n) \in \Delta^n \mid x_i > 0\} \end{aligned}$$

Ferner heißt

$$\mathring{\tau} : \coprod_{n \geq 0} \mathring{\Delta}_n \times X_{(n)} \rightarrow |X|$$

die durch  $\tau$  induzierte Abbildung.

### 1.1.3 Proposition

**Proposition 1.15**  $\mathring{\tau}$  ist eine mengentheoretische Bijektion.

*Beweis* Für ein  $(s, x) \in \mathring{\Delta}_n \times X_{(n)}$  sei sein *Index*  $k(s, x)$  als die minimale Dimension einer Seite gegeben, die  $s$  enthält.  $R$ -äquivalente Punkte haben den selben Index. Damit ist  $k : |X| \rightarrow \mathbb{N}_0$  eine wohldefinierte Abbildung. Es gilt  $k(s, x) = k$ , wenn  $s \in \mathring{\Delta}_k$ .

Ist dann  $p \in |X|$  mit  $k(p) = k$ , so gibt es (mind.) einen Repräsentanten  $(s, x)$  mit  $(s, x) \in \mathring{\Delta}_k \times X_{(k)}$ . Damit ist gezeigt, dass  $\mathring{\tau}$  surjektiv ist.

Bleibt noch die Injektivität von  $\mathring{\tau}$  zu zeigen: Seien  $(s, x), (s', x') \in \coprod_{n \geq 0} \mathring{\Delta}_n \times X_{(n)}$  mit  $(s, x) \stackrel{R}{\sim} (s', x')$ . Zu zeigen ist damit  $(s, x) = (s', x')$ . Nach obiger Vorüberlegung ist  $k(s, x) = k(s', x')$ , d.h.  $x, x' \in X_{(k)}$ . Wir haben

$$(s, x) \xleftarrow{f_1} (s_1, x_1) \xleftarrow{f_2} (s_2, x_2) \xleftarrow{f_3} (s_3, x_3) \xleftarrow{\dots} \dots \xleftarrow{\dots} (s', x')$$

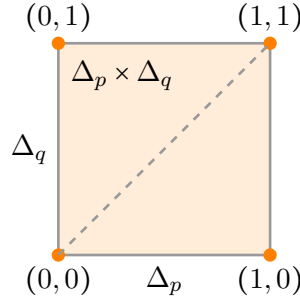




### 1.1.5 Triangulation des Produktes zweier Simplexes

Wir wollen eine kanonische Triangulierung  $(X_{(n)}, X(f))$  von  $\Delta_p \times \Delta_q$  explizit angeben.

*Beispiel 1.19* Für  $p = 1$  und  $q = 1$  können wir uns anschaulich folgende Triangulierung überlegen:



**Definition 1.20 (kanonische Triangulierung von  $\Delta_p \times \Delta_q$ )** Die *kanonische Triangulierung*  $(X_{(n)}, X(f))$  von  $\Delta_p \times \Delta_q$  ist gegeben durch:

- (1) Ein Element von  $X_{(n)}$  (multidimensionale Diagonale) ist eine Menge von  $(n+1)$  paarweise verschiedenen Paaren

$$\{(i_0, j_0), (i_1, j_1), \dots, (i_n, j_n)\}$$

mit  $0 \leq i_0 \leq i_1 \leq \dots \leq i_n \leq p$  und  $0 \leq j_0 \leq j_1 \leq \dots \leq j_n \leq q$ .

- (2) Für  $f: [m] \rightarrow [n]$  streng monoton sei

$$X(f)(\{(i_0, j_0), \dots, (i_n, j_n)\}) = \{(i_{f(0)}, j_{f(0)}), \dots, (i_{f(m)}, j_{f(m)})\}.$$

**Definition 1.21** Sei

$$\vartheta_n: \Delta_n \times X_{(n)} \rightarrow \Delta_p \times \Delta_q$$

so, dass  $\vartheta_n(\_, x): \Delta_n \rightarrow \Delta_p \times \Delta_q \subseteq \mathbb{R}^{p+q+2}$  diejenige lineare, ordnungserhaltende Abbildung ist, deren Bild  $\tilde{\Delta}_n$  ist, wobei  $\tilde{\Delta}_n \subseteq \mathbb{R}^{p+q+2}$  derjenige  $n$ -Simplex ist, der durch  $(e_{i_k}, e'_{j_k})$  aufgespannt wird für  $x = \{(i_0, j_0), \dots, (i_n, j_n)\}$ .

**Lemma 1.22** Sei  $|X|$  die geometrische Realisierung von  $(X_{(n)}, X(f))$ . Dann existiert ein kommutatives Diagramm

$$\begin{array}{ccc} \coprod \Delta_n \times X_{(n)} & & \\ \tau \swarrow & & \searrow \coprod \vartheta_n =: \vartheta \\ |X| & \xrightarrow[\varphi]{\exists!} & \Delta_p \times \Delta_q \end{array}$$

wobei das eindeutige  $\varphi$  eine Bijektion ist.

*Beweis* (a) Da  $\tau$  surjektiv, existiert höchstens ein  $\varphi$ . Sei  $(t, y) \xrightarrow{f} (s, x)$ , d.h.  $s = \Delta_f(t)$ ,  $y = X(f)(x)$ .

$$\vartheta(s, x) = \vartheta(\Delta_f(t), x) = \vartheta(t, X(f)(x)) = \vartheta(t, y).$$

Also existiert genau ein  $\varphi$ .

- (b) Wir zeigen nun, dass  $\vartheta$  surjektiv ist, damit ist auch  $\varphi$  surjektiv. Sei  $\Delta_p = \{(x_0, \dots, x_p) \mid x_i \geq 0, \sum x_i = 1\}$  und  $\Delta_q = \{(y_0, \dots, y_p) \mid y_j \geq 0, \sum y_j = 1\}$ . Führe nun neue Koordinaten ein:

$$\begin{aligned}\xi_1 &= x_0, & \xi_2 &= x_0 + x_1, & \dots, & \xi_p &= x_0 + \dots + x_{p-1} \\ \eta_1 &= y_0, & \eta_2 &= y_0 + y_1, & \dots, & \eta_q &= y_0 + \dots + y_{q-1}\end{aligned}$$

In diesen Koordinaten gilt:

$$e_i = (\underbrace{0, \dots, 0}_i, \underbrace{1, \dots, 1}_{p-i}), \quad e_j = (\underbrace{0, \dots, 0}_j, \underbrace{1, \dots, 1}_{q-j})$$

Sei  $x = \{(i_0, j_0), \dots, (i_{p+q}, j_{p+q})\} \in X_{(p+q)}$  mit  $(i_0, j_0) = (0, 0)$  und  $(i_{p+q}, j_{p+q}) = (p, q)$ . Das Bild  $\vartheta(\Delta_{p+q}, x)$  besteht aus allen Paaren  $((\xi_1, \dots, \xi_p), (\eta_1, \dots, \eta_q)) \in \Delta_p \times \Delta_q$  mit  $0 \leq \xi_i, \eta_j \leq 1$ , wobei alle  $\xi_i, \eta_j$  angeordnet sind und gilt:

- (i) Ist  $i < j$ , so steht  $\xi_i$  vor  $\xi_j$  und  $\eta_i$  vor  $\eta_j$  und ist  $j_{k+1} = j_k$ , so steht an  $(k+1)$ -ter Stelle ein  $\xi$ , sonst ein  $\eta$ .
- (c) Sei  $r = ((\xi_1, \dots, \xi_p), (\eta_1, \dots, \eta_q)) \in \Delta_p \times \Delta_q$ . Wir konstruieren dasjenige Element in  $\coprod \Delta_n \times X_{(n)}$ , welches von  $\vartheta$  auf  $r$  abgebildet wird. (Damit ist  $\varphi$  injektiv). Das partitioniere die  $p+q+2$  Zahlen  $0, \xi_i, \eta_i, 1$  in Pakete jeweils gleicher Zahlen, nummeriert durch  $0, 1, \dots, l+1$  mit  $0 \leq l \leq p+q$  in aufsteigender Reihenfolge. Die Werte seien  $0 = \gamma_0 < \gamma_1 < \dots < \gamma_{l+1} = 1$ . Sei  $x := \{(i_0, j_0), \dots, (i_l, j_l)\} \in X_{(l)}$  gegeben durch

$$i_k := \begin{cases} 0 & k = -1, \\ i_{k-1} & \text{kein } \xi \text{ in } k\text{-ter Gruppe,} \\ \max\{i \mid \xi_i \text{ liegt in der } k\text{-ten Gruppe}\} & \text{sonst} \end{cases}$$

□

und  $j_k$  analog zu  $i_k$  mit  $\eta$  anstatt  $\xi$ . Sei  $s = (z_0, \dots, z_l) \in \Delta_l$  mit  $z_i = \gamma_{i+1} - \gamma_i$ ,  $0 \leq i \leq l$ . Nach Übungsaufgabe 1 Übungsblatt 1 gilt nun  $\vartheta^{-1}(r) = \{(s, x)\}$

**Bild** zur Veranschaulichung der Tupel für  $\Delta_1 \times \Delta_1$   
Verwaltung von Übungsaufgaben?

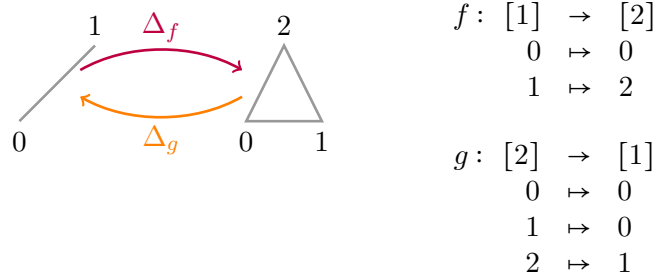
## 1.2 Simpliziale Mengen

**Definition 1.23 (simpliziale Menge,  $f$ -Seite)** Eine *simpliziale Menge* ist eine Familie  $X_\bullet = (X_n)_{n \geq 0}$  von Mengen und von Abbildungen  $X(f) : X_n \rightarrow X_m$  für jede monotone Abbildung  $f : [m] \rightarrow [n]$ , so dass folgende Bedingungen erfüllt sind:

- (1)  $X(\text{id}) = \text{id}$ ,
- (2)  $X(f \circ g) = X(g) \circ X(f)$ .

Für jede monotone Abbildung  $f : [m] \rightarrow [n]$  ist die  $f$ -Seite die lineare Abbildung  $\Delta_f : \Delta_m \rightarrow \Delta_n$  mit  $e_i \mapsto e_{f(i)}$ .

*Beispiel 1.24*



**Bemerkung 1.25**  $\Delta_f$  ist im Allgemeinen keine Einbettung mehr!

**Definition 1.26** Die *geometrische Realisierung*  $|X_\bullet|$  einer simplizialen Menge  $X_\bullet$  ist der topologische Raum mit zugrundeliegender Menge

$$\left( \coprod \Delta_n \times X_n \right) / R,$$

wobei  $R$  die schwächste Äquivalenzrelation ist, für die

$$(s, x)R(t, y) \iff y = X(f)(x), \quad s = \Delta_f(t)$$

für alle monotonen Abbildungen  $f: [m] \rightarrow [n]$  gilt. Die Topologie auf  $|X|$  ist wieder die Quotiententopologie.

## 1.2.1 Beispiele

### 1.2.1.1 Nerv einer Überdeckung

Sei  $(\mathcal{U}_\alpha)_{\alpha \in A}$  eine Überdeckung eines topologischen Raumes  $Y$  durch offene (bzw. abgeschlossene Teilmengen). Sei

$$X_n := \{(\alpha_0, \dots, \alpha_n) \in A^{n+1} \mid \mathcal{U}_{\alpha_0} \cap \dots \cap \mathcal{U}_{\alpha_n} \neq \emptyset\}.$$

**Definition 1.27**  $X_\bullet$  heißt *Nerv von*  $(\mathcal{U}_\alpha)_{\alpha \in A}$ .

**Beispiel 1.28 Bild** Überdeckung der  $S^1$ . ... mit der geometrischen Realisierung:

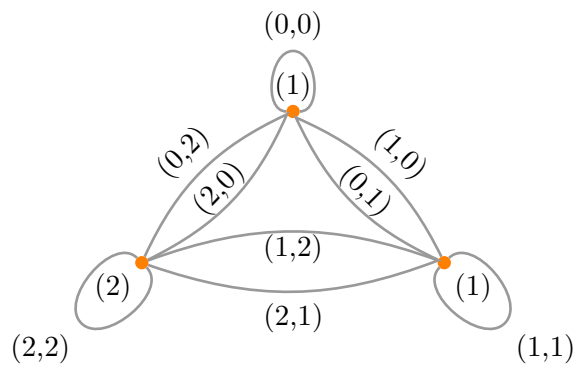
(1) Das 0-Skelet

(1) ●

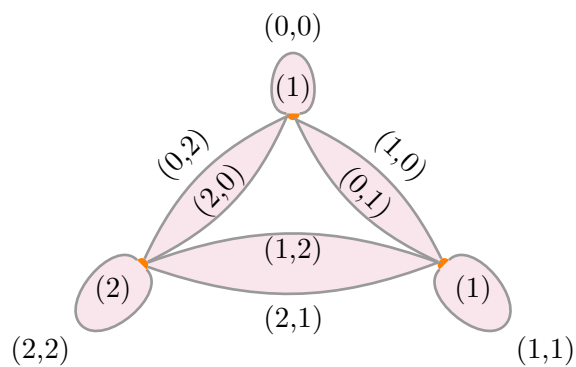
(2) ●

● (1)

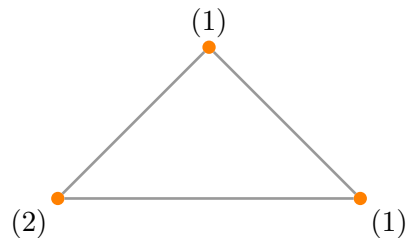
(2) Das 1-Skelet



(3) Das 2-Skelet



(4) welches nach einfügen noch höherer Simplizes vereinfacht gemalt wie folgt aussieht



*Bemerkung 1.29* Ist die Überdeckung lokal endlich und sind die nicht-leeren Durchschnitte zusammenziehbar, so ist  $|X|$  homotopieäquivalent zu  $Y$ .

### 1.2.1.2 Singuläre Simplizes

**Definition 1.30** Sei  $Y$  ein topologischer Raum. Ein *singulärer  $n$ -Simplex von  $Y$*  ist eine stetige Abbildung  $\varphi : \Delta_n \rightarrow Y$ .

$$X_n := \{\varphi : \Delta_n \rightarrow Y \text{ sing. } n\text{-Simplizes}\}$$

und

$$X(f)(\varphi) := \varphi \circ \Delta_f$$

für alle  $f : [m] \rightarrow [n]$  monoton. Dies definiert eine simpliziale Menge  $X_\bullet$ .

*Bemerkung 1.31*  $X_\bullet$  ist riesig!

**Bemerkung 1.32** In einem gewissen Sinn sind *singuläre simpliciale Mengen eines topologischen Raums bilden* und *geometrische Realisierung einer simplicialen Menge bilden* zusammengehörige Prozesse; sie lösen jeweils ein Optimierungsproblem, das der andere Prozess stellt. Das Schlagwort dazu ist die allgemeine *Adjunktion zwischen Nerv und Realisierung*, und vielleicht werden wir dazu später mehr erfahren.

### 1.2.1.3 Die simpliciale Menge $\Delta[p]$

**Definition 1.33** Sei

$$\begin{aligned}\Delta[p]_n &:= \{g : [n] \rightarrow [p] \text{ monoton} \}, \\ \Delta[p](f)(g) &:= g \circ f.\end{aligned}$$

$\Delta[p]_\bullet$  heißt *simplicialer  $p$ -Simplex*.

**Lemma 1.34** Es existiert ein kanonischer Homöomorphismus  $\Delta_p \rightarrow |\Delta[p]|$ .

*Beweis* Übungsaufgabe. □

### 1.2.1.4 Die einem Verklebedatum zugeordnete simpliciale Menge

Sei  $(X_{(n)}, X(f))$  ein Verklebedatum. Dazu gehört die simpliciale Menge  $\tilde{X}_\bullet$  mit

$$\begin{aligned}\tilde{X}_n &:= \{(x, g) \mid x \in X_{(k)}, g : [n] \rightarrow [k] \text{ monoton, surjektiv} \} \\ \tilde{X}(f) &:= \tilde{X}_m \rightarrow \tilde{X}_n, (x, g) \mapsto (X(f_1)(x), f_2)\end{aligned}$$

für  $f : [n] \rightarrow [m]$  monoton, mit  $g \circ f = f_1 \circ f_2$  für  $f_1, f_2$  monoton,  $f_1$  injektiv,  $f_2$  surjektiv.

**Lemma 1.35**  $\tilde{X}_\bullet$  ist in der Tat eine simpliciale Menge.

*Beweis* Übungsaufgabe. □

**Bemerkung 1.36** Später werden wir sehen, dass

$$|\tilde{X}_\bullet| = |X|.$$

**Proposition 1.37** Eine simpliciale Menge  $\tilde{X}$  kann genau dann aus einem Verklebedatum  $X$  erhalten werden, wenn für jeden nicht-degenerierten Simplex  $x \in \tilde{X}_n$  und für jede streng monotone Abbildung  $f : [m] \rightarrow [n]$  der Simplex  $\tilde{X}(f)(x)$  ebenfalls nicht-degeneriert ist. In diesem Fall ist  $X$  im Wesentlichen durch  $\tilde{X}$  bestimmt.

*Beweis* Übungsaufgabe. □

### 1.2.1.5 Der klassifizierende Raum einer Gruppe

Sei  $G$  eine Gruppe. Setze  $(BG)_n := G^n$  und für  $f : [m] \rightarrow [n]$  monoton, setzen wir  $BG(f) : G^m \rightarrow G^n$ ,  $(g_1, \dots, g_m) \mapsto (h_1, \dots, h_m)$ , wobei

$$h_i := \prod_{j=f(i-1)+1}^{f(i)} g_j.$$

**Beispiel 1.38**  $f : [3] \rightarrow [4], 0 \mapsto 0, 1, 2 \mapsto 2, 3 \mapsto 4$  **Bild**

**Definition 1.39** Die geometrische Realisierung  $|BG|$  heißt der *klassifizierende Raum* von  $G$ .

### 1.2.1.6 Nicht-ausgeartete Simplexes

**Definition 1.40 (ausgearteter Simplex)** Sei  $X$  eine simpliciale Menge. Ein  $n$ -Simplex  $x \in X_n$  heißt *ausgeartet*, falls  $x = X(f)(y)$  für  $f : [n] \rightarrow [m]$  mit  $m < n$ ,  $y \in X_m$  und  $f$  surjektiv.

Ist  $x$  nicht-ausgeartet und  $x = X(f)(y)$  für ein  $f$  und  $y$ , so ist  $f$  eine Injektion. Ansonsten zerlege  $f = f_1 \circ f_2$  mit  $f_1$  injektiv und  $f_2$  surjektiv. Damit  $x = X(f_1 \circ f_2)(y) = X(f_2)(X(f_1)(y))$ .

Ist  $X$  eine simpliciale Menge, so sei  $X_{(n)} := \{x \in X_n \mid x \text{ nicht-ausgeartet}\}$  und

$$\begin{array}{ccc} \tau : \coprod_{n \geq 0} \Delta_n \times X_n & \xrightarrow{\quad} & |X| \\ \uparrow & \nearrow \hat{\tau} & \\ \coprod_{n \geq 0} \hat{\Delta}_n \times X_{(n)} & & \end{array}$$

**Proposition 1.41**  $\hat{\tau}$  ist eine Bijektion.

Um diese Proposition zu beweisen, brauchen wir einige Lemmas.

**Lemma 1.42** Für jedes  $x \in X_n$  existiert ein eindeutiges Paar  $(f, y)$ , mit  $y \in X_{(m)}$ ,  $f : [n] \rightarrow [m]$  monoton, surjektiv, so dass  $x = X(f)(y)$ .

**Beweis** Die Existenz folgt aus der Definition von  $X_{(m)}$ . Zur Eindeutigkeit: Seien  $(f, y)$ ,  $f : [n] \rightarrow [m]$  und  $(f', y')$ ,  $f' : [n] \rightarrow [m']$  zwei solcher Paare mit  $x = X(f)(y) = X(f')(y')$ . Sei  $g : [m] \rightarrow [n]$  ein monotoner Schnitt von  $f$ , d.h.  $f \circ g = \text{id}_{[m]}$ . Dann ist

$$y = X(\text{id})(y) = X(f \circ g)(y) = X(g)X(f)(y) = X(g)(x).$$

Damit  $y = X(g)X(f')(y') = X(f' \circ g)(y')$ . Da  $y$  nicht-entartet ist, ist  $f' \circ g : [m] \rightarrow [m']$  eine Injektion, so dass  $m \leq m'$ . Analog  $m' \leq m$ , also  $m = m'$ . Damit ist  $f' \circ g$  eine monotone Injektion von  $[m]$  nach  $[m]$ , also  $f' \circ g = \text{id}_{[m]}$ , also  $y = y'$ . Da  $f' \circ g = \text{id}$  für alle Schnitte  $g$  von  $f$ , folgt  $f' = f$ .  $\square$

**Folgerung 1.43** Sei  $x \in X_n$  ein  $n$ -Simplex,  $y \in X_m$  nicht-entartet,  $f : [n] \rightarrow [m]$  eine monotone Surjektion mit  $x = X(f)(y)$ . Sei weiter  $z \in X_l$  und  $g : [n] \rightarrow [l]$  eine monotone Surjektion mit  $x = X(g)(z)$ . Dann faktorisiert  $f$  als  $f = h \circ g$  mit einem  $h : [l] \rightarrow [m]$ , so dass  $z = X(h)(y)$ .

**Beweis** Sei  $(h', y')$  das Paar aus Satz 1.42 mit  $z = X(h')(y')$ . Dann ist  $x = X(g)(z) = X(g)(X(h')(y')) = X(h' \circ g)(y')$ . Damit ist  $h' \circ g = f$  und  $y = y'$ . Setze  $h := h'$ .  $\square$

## 1.2.1.6.1 Beweis von Satz 1.41

*Beweis (von Satz 1.41)* (1)  $\hat{\tau}$  ist surjektiv: Sei  $p \in |X|$ . Sei  $k$  die kleinste Dimension, so dass ein  $(s, x) \in \Delta_k \times X_k$  mit  $\tau(s, x) = p$  existiert. Wir wollen nun zeigen, dass  $(s, x) \in \dot{\Delta}_k \times X_{(k)}$ : Ist  $k = 0$ , so ist  $\Delta_0 = \dot{\Delta}_0$  und  $X_{(0)} = X_0$ , also nichts zu zeigen. Ist  $x$  uasgeartet, so ist  $x = X(f)(y)$ ,  $f : [k] \rightarrow [l]$  monoton,  $l < k$ . Dann ist  $\tau(s, x) = \tau(\Delta_f(s), y)$ . Widerspruch zur Minimalität von  $k$ . Also  $x \in X_{(k)}$ . Ist  $s \notin \dot{\Delta}_k$ , so existiert ein injektives  $f : [l] \rightarrow [k]$  monoton mit  $s = \Delta_f(t)$  für  $t \in \Delta_l$ . Damit  $\tau(s, x) = \tau(\Delta_f(t), x) = \tau(t, X(f)(x))$  im Widerspruch zu  $l < k$ .

(2)  $\hat{\tau}$  ist injektiv: Seien  $(s, x) \in \dot{\Delta}_k \times X_{(k)}$ ,  $(s', x') \in \dot{\Delta}_l \times X_{(l)}$  mit  $\tau(s, x) = \tau(s', x')(*)$ , so ist zu zeigen, dass  $s = s'$  und  $x = x'$ . Wegen  $(*)$  existiert

$$(s, x) = (s_0, x_0) \sim (s_1, x_1) \sim \dots \sim (s_N, x_N) = (s', x')$$

wobei  $\sim$  für  $(s_i, x_i) \xrightarrow{f_i^+} (s_{i+1}, x_{i+1})$  oder  $(s_i, x_i) \xleftarrow{f_i^-} (s_{i+1}, x_{i+1})$  steht. Ohne Einschränkung können wir "Zickzack" annehmen. Wir zeigen: Ist  $N = 1$ , so ist  $f_0 = \text{id}$  und ist  $N > 1$ , so existiert eine kürzere Kette.

(3) Beh: Da  $(s, x) \in \dot{\Delta}_k \times X_{(k)}$ , so ist  $f_0^+$  eine Injektion und  $f_0^-$  eine Surjektion. Im Fall  $f_0^+$  ist  $x = X(f_0^+)(x_1)$ . Dann ist  $f_0^+$  eine Injektion nach Unterunterabschnitt 1.2.1.6. Im Fall  $f_0^-$  ist  $s = \Delta_{f_0^-}(s_1)$ . Da  $s \in \dot{\Delta}_k$ , muss  $f_0^-$  surjektiv sein. Wir folgern:  $N = 1$ . Unterunterabschnitt 1.2.1.6. Im Fall  $f_0^-$  ist  $s = \Delta_{f_0^-}(s_1)$ . Da  $s \in \dot{\Delta}_k$ , muss  $f_0^-$  surjektiv sein. Wir folgern: Für  $N = 1$  ist  $f_0^-/f_0^+$  ist injektiv und surjektiv, also gleich  $\text{id}$ .

(4) Für  $N \geq 2$  betrachte

$$(s_i, x_i) \xrightarrow{f_i^+} (s_{i+1}, x_{i+1}) \xleftarrow{f_{i+1}^-} (s_{i+2}, x_{i+2})$$

$$[m_i] \longrightarrow [m_{i+1}] \longleftarrow [m_{i+2}]$$

Sei außerdem  $f_i^+$  injektiv. Wir zeigen, dass dann folgende Kette existiert:

$$(s_i, x_i) \xleftarrow{g} (s_{i+1}, x_{i+1}) \xrightarrow{h} (s_{i+2}, x_{i+2})$$

$$[m_i] \longrightarrow [m_{i+1}] \longleftarrow [m_{i+2}]$$

Sei  $I := (f_{i+1}^-)^{-1}(f_i^+([m_i]))$ ,  $l := |I| - 1$ . Sei  $h : [l] \rightarrow [m_{i+2}]$  die injektive monotone Abbildung mit Bild  $I$ . Dann existiert genau ein  $g : [l] \rightarrow [m_i]$  mit  $f_i^+ \circ g = f_{i+1}^- \circ h$ . Da  $h = I$ , ist  $\text{im } \Delta_h = (\Delta_{f_{i+1}^-})^{-1}(\Delta_{f_i^+}(\Delta_{m_i}))$ . Da  $\Delta_{f_{i+1}^-}(s_{i+2}) = s_{i+1} = \Delta_{f_i^+}(s_i)$ , existiert ein  $t \in \Delta_l$  mit  $\Delta_h(t) = s_{i+2}$ . Außerdem:

$$\Delta_{f_i^+}(\Delta_g(t)) = \Delta_{f_{i+1}^-}(\Delta_h(t)) = s_{i+1} = \Delta_{f_i^+}(s_i)$$

Da  $\Delta_{f_i^+}$  injektiv, folgt  $\Delta_g(t) = s_i$ . Setze  $y := X(h)(x_{i+2}) = X(g)(x_i)$ .

- (5) Sei  $N \geq 2$ , so beginnt die Kette mit  $(s, x) \xrightarrow{f_0^+} (s_1, x_1) \xleftarrow{f_1^-} (s_2, x_2)$ , so ist  $f_0^+$  nach (4) eine Injektion. Nach (3) erhalten wir dann eine Kette der Länge 2 (für  $N = 2$  oder  $N - 1$  für  $N \geq 3$ ) der Form

$$(s_0, x_0) \xleftarrow{f_0^-} (s_1, x_1) \xrightarrow{f_1^+} (s_2, x_2)$$

Nach (4) ist  $f_0^-$  eine Surjektion.

- (6) Ist  $N = 2$ , also  $(s_2, x_2) \in \mathring{\Delta}_l \times X_{(l)}$ , so ist  $f_1^+$  surjektiv nach (3). Da  $x_0, x_2$  nicht-ausgeartet, folgt nach Satz 1.42, dass  $f_0^- = f_1^+$  und  $x_0 = x_2$ , also  $s_0 = s_2$ .

- (7) Sei also  $N \geq 3$ . Schreibe  $f_1^+ = i \circ p$ , wobei  $p : [m_1] \rightarrow [l]$  monotone Surjektion und  $i : [l] \rightarrow [m_2]$  monotone Injektion. Da  $x_0$  nicht-ausgeartet und  $f_0^-$  surjektiv, existiert nach Satz 1.43 eine Faktorisierung  $f_0^- = g \circ p$  für ein  $g : [l] \rightarrow [k]$ . Damit ersetzen wir  $(s_0, x_0) \xleftarrow{f_0^-} (s_1, x_1) \xrightarrow{f_1^+} (s_2, x_2)$  durch

$$(s_0, x_0) \xleftarrow{g} (\Delta_p(s_1, X(g)(x_0))) \xrightarrow{i} (s_2, x_2),$$

d.h. ohne Einschränkung ist  $f_1^+$  eine Injektion. Nach (4) können wir also  $(s_1, x_1) \xrightarrow{f_1^+} (s_2, x_2) \xleftarrow{f_2^-} (s_3, x_3)$  durch  $(s_1, x_1) \xleftarrow{f_1^-} (s_2, x_2) \xrightarrow{f_2^+} (s_3, x_3)$  ersetzen und wir erhalten eine Kette der Länge  $N - 2$ .  $\square$

**Folgerung 1.44** Sei  $|X|$  ein triangulierter Raum mit Verklebedatum  $(X_{(n)}, X(f))$ . Sei  $\tilde{X}$  die dazugehörige simpliziale Menge Dann  $|\tilde{X}| = |X|$ .

*Beweis*

$$\begin{array}{ccc} \coprod_{n \geq 0} \Delta_n \times \tilde{X}_n & \xrightarrow{(s, \tilde{x}) = (s, g) \mapsto (\Delta_g(s), x)} & \coprod_{n \geq 0} \Delta_n \times X_{(n)} \\ \downarrow & & \downarrow \\ |\tilde{X}| & \xrightarrow{\varphi} & |X| \end{array}$$

Dann ist nach Übungsaufgabe  $\varphi$  ein Homöomorphismus.  $\square$



### 1.2.2 Skelett und Dimension

### 1.2.3 Abbildungen simplizialer Mengen

### 1.2.4 Verfeinerung von Überdeckungen

### 1.2.5 Stetige Abbildungen

### 1.2.6 Gruppenhomomorphismen

## 1.3 Simpliziale Topologische Räume und Eilenberg-Zilber

### 1.3.1 Drei Beschreibungen von $\Delta_p \times \Delta_q$

### 1.3.2 Definition

### 1.3.3 Definition

### 1.3.4 Beispiel

### 1.3.5 Definition

### 1.3.6 Die geometrische Realisierung einer bisimplizialen Menge

### 1.3.7 Satz von Eilenberg und Zilber

### 1.3.8 Beweisidee

#### 1.3.8.1 Aufeinanderfolgende Faktorisierungen

$Z$  sei beliebige Menge,  $R_1, R_2$  zwei Äquivalenzrelationen auf  $Z$ . Sei  $R$  die von  $R_1, R_2$  erzeugte Äquivalenzrelation. Sei  $R_1/R_2$  folgende Äquivalenzrelationen auf  $Z/R_1$ :

$$(x \bmod R_1) \stackrel{R_2/R_1}{\sim} (y \bmod R_1) :\Leftrightarrow \exists x', y' \in Z : x' \sim y' \bmod R_2, x' \sim x \bmod R_1, y' \sim y \bmod R_1.$$

Dann sind

- a)  $(Z/R_1)/(R_2/R_1)$ ,
- b)  $(Z/R_2)/(R_1/R_2)$  und
- c)  $Z/R$

kanonisch bijektiv und falls a), b), c) die Quotiententopologie bzgl. einer Topologie auf  $Z$  tragen, sind diese Bijektionen Homöomorphismen.

Tiefe der  
Nummerierung  
unklar!

**Lemma 1.45** Sei  $R$  die von  $R^I, R^{II}$  erzeugte Äquivalenzrelationen. Dann ist

$$Z/R \cong \coprod_{k \geq 0} (X_{kk} \times \Delta_k) \quad \text{und} \quad (Z/R)/(R^D/R) \cong |X|^D$$

*Beweis* Sei  $\tilde{p} : Z \rightarrow \coprod_{k \geq 0} (X_{kk} \times \Delta_k)$ ,  $(x, (f, g), s) \mapsto (X(f, g)(x), s)$ .  $R^I$  und  $R^{II}$ -äquivalente Punkte haben das selbe Bild unter  $\tilde{p}$ . Damit erhalten wir ein wohldefiniertes  $p : Z/R \rightarrow \coprod_{k \geq 0} (X_{kk} \times \Delta_k)$ . Betrachte

$$\tilde{i} : \coprod_{k \geq 0} (X_{kk} \times \Delta_k) \rightarrow Z, \quad (x, s) \mapsto (x, (\text{id}, \text{id}), s).$$

und  $i = (Z \rightarrow Z/R) \circ \tilde{i}$ . Dann ist  $p \circ i = \text{id}$ . Damit ist  $p$  surjektiv. Jeder Punkt  $(x, (f, g), s)$  ist  $R$ -äquivalent zu  $(X(f, g)x, (\text{id}, \text{id}), s)$ . Damit ist  $p$  auch injektiv, also ein Homöomorphismus.

Berechnung von  $R^D/R$  auf  $Z/R$ :

$$\begin{array}{ccc} (x, (f, g), s) & \xrightarrow{p} & (X(f, g)(x), s) = (X(h, h) \circ X(f', g')(x), s) \\ \uparrow \sim_h & & \uparrow \sim_{R^D/R} \\ (X, (f', g'), s') & \xrightarrow{p} & (X(f', g')(x), s') = (X(f', g')(x), \Delta_h(s)) \end{array}$$

D.h.  $R^D/R : (X(h, h)(x), s) \sim (x, \Delta_h(s))$  und es folgt  $\coprod_{k \geq 0} X_{kk} \times \Delta_k = |X|^D$ .  $\square$

**Lemma 1.46** Die geometrische Relaisierung  $|D[m, n]|$  ist kanonisch homöomorph zu  $\Delta_m \times \Delta_n$ .

*Beweis* Einem  $k$ -Simplex in  $D[m, n]$ , d.h. einem Paar  $(f, g)$  monotoner Abbildungen  $f : [k] \rightarrow [m]$ ,  $g : [k] \rightarrow [n]$ , ordnen wir das  $(k+1)$ -Tupel  $((i_0, j_0), \dots, (i_k, j_k))$  mit  $i_l = f(l)$ ,  $j_l = g(l)$  für  $0 \leq l \leq k$  zu. Der Simplex  $(f, g)$  ist genau dann nicht-degeneriert, wenn alle Paare verschieden sind. Außerdem: Ist  $h : [k'] \rightarrow [k]$  injektiv und  $(f, g)$  nicht ausgeartet, so ist  $D[m, n](h)(f, g) = (f \circ h, g \circ h)$  ebenfalls nicht ausgeartet. Damit ist

$$|D[m, n]| = |\text{Verklebedatum der nicht-ausgearten Simplizes}| \cong \Delta_m \times \Delta_n \quad \square$$

**Folgerung 1.47** Es gilt:

$$Z/R^D \cong \coprod_{m, n} X_{m, n} \times \Delta_m \times \Delta_n$$

und

$$R^I/R^D : (x, s, t) \sim (x', s', t), \text{ falls } s' = \Delta_h(s), x = X(h, \text{id})(x'),$$

für ein monotones  $h$ .  $R^{II}/R^D$  analog.

*Beweis*  $Z/R^D \cong \coprod_{m, n \geq 0} X_{m, n} \times (\Delta_m \times \Delta_n)$  ist Lemma 1.46.

$$F_h : D[m, n]_h \rightarrow D[m', n]_h, \quad (f, g) \mapsto (h \circ f, g)$$

so ist

$$\begin{array}{ccc} |F_h| : & |D[m, n]| & \longrightarrow & |D[m', n]| \\ & \downarrow \cong & & \downarrow \cong \\ & \Delta_m \times \Delta_n & \xrightarrow{\Delta_n \times \Delta_{\text{id}}} & \Delta_{m'} \times \Delta_n \end{array} \quad \square$$

**Notation 1.48** •  $\tilde{Z} := Z/R^D$

- $\tilde{R}^I := R^I/R^D$
- $\tilde{R}^{II} := R^{II}/R^D$

**Folgerung 1.49** Es gilt

$$(\tilde{Z}/\tilde{R}^I)/(\tilde{R}^{II}/\tilde{R}^I) = |X|^I \quad \text{und} \quad (\tilde{Z}/\tilde{R}^{II})/(\tilde{R}^I/\tilde{R}^{II}) = |X|^{II}.$$

## 1.4 Homologie und Kohomologie

### 1.4.1 Ketten und Koketten

**Definition 1.50** Eine  $n$ -dimensionale Kette ( $n$ -Kette) einer simplizialen Menge  $X$  ist ein Element der freien abelschen Gruppe  $C_n(X)$ , welche von allen  $n$ -Simplizes erzeugt wird.

**Definition 1.51** Der Rand einer  $n$ -Kette  $c \in C_n(X)$  ist die  $(n-1)$ -Kette  $d_n c$ , definiert durch

$$d_n \left( \sum_{x \in X_n} a(x)x \right) := \sum_{x \in X_n} a(x) \sum_{i=0}^n (-1)^i X(\partial_n^i)(x)$$

Damit ist der Randoperator  $d_n : C_n(X) \rightarrow C_{n-1}(X)$  ein Gruppenhomomorphismus. Für  $n = 0$  setze  $C_{-1}(X) = 0$ ,  $d_0 = 0$ .

**Bemerkung 1.52** Anstelle von  $\mathbb{Z}$  hätten wir auch Koeffizienten in einer beliebigen abelschen Gruppe  $A$  verwenden können:  $C_n(X, A) := C_n(X) \otimes_{\mathbb{Z}} A$ , insb.  $C_n(X) = C_n(X, \mathbb{Z})$ . und  $d_n : C_n(X, A) \rightarrow C_{n-1}(X, A)$  ist ein  $A$ -Modulhomomorphismus.

**Definition 1.53** Eine  $n$ -Kokette (mit Koeffizienten in  $A$ ) ist ein Element in

$$C^n(X, A) := \{f : X_n \rightarrow A \text{ Abbildung}\}$$

Der Korandoperator  $d^n : C^n(X, A) \rightarrow C^{n+1}(X, A)$  ist definiert durch

$$d^n(f)(x) := \sum_{i=0}^{n+1} (-1)^i f(X(\partial_{n+1}^i)(x))$$

für  $x \in X_{n+1}$ .

**Bemerkung 1.54** Man kann  $C_n(X, A) \hookrightarrow C^n(X, A)$  sehen, was aber nur unter Vorsicht zu genießen ist. Sie sind nämlich bezüglich Rand- und Korandoperator nicht verträglich!

(a)  $d_{n-1} \circ d_n = 0$ .

(b)  $d^{n+1} \circ d^n = 0$ .

**Beweis** Für  $0 \leq j < i \leq n-1$  ist  $\partial_n^i \circ \partial_{n-1}^j = \partial_n^j \circ \partial_{n-1}^{i-1} : [n-2] \rightarrow [n]$  mit  $i, j \notin \text{im}$ .

$$\begin{aligned} d_{n-1}(d_n(x)) &= \sum_{j=0}^{n-1} \sum_{i=0}^n (-1)^{i+j} X(\partial_{n-1}^j) X(\partial_n^i)(x) \\ &= \sum_{j=0}^{n-1} \sum_{i=0}^n (-1)^{i+j} X(\partial_n^i \circ \partial_{n-1}^j)(x) = 0 \end{aligned}$$

# Literatur

- [1] S.I. Gelfand und Y. Manin. *Methods of Homological Algebra: Springer monographs in mathematics*. Springer Monographs in Mathematics. Springer, 2003. ISBN: 9783540435839. URL: <http://books.google.de/books?id=pv94ATbagxEC>.